

Código de Blocos

Carlos Renato de Andrade Figueiredo
Divisão de Ciências da Computação
Instituto Tecnológico de Aeronáutica
São José dos Campos, SP 12228-900
Email: carlos.figueiredo@ga.ita.br

Samara Ribeiro Silva
Divisão de Ciências da Computação
Instituto Tecnológico de Aeronáutica
São José dos Campos, SP 12228-900
Email: samara.silva@ga.ita.br

Resumo - Este relatório descreve os resultados da simulação e comparação entre o código de Hamming(7,4) e um código proposto pelos alunos com taxa semelhante, mas com palavras código maiores. Comparativamente com uma simulação realizada, foi possível observar no gráfico que o código proposto pelos alunos obteve desempenho semelhante, porém levemente inferior. Foi observada a relação entre o desempenho e o tamanho da palavra código e da percentagem p . O motivo dessa relação se dá devido a capacidade de detecção e correção de erros dos códigos implementados.

Palavras-chave - Hamming, código de correção de erros, código de bloco

I. INTRODUÇÃO

A transmissão de mensagens compostas por uma sequência de bits pode ser comprometida por imprecisões no canal de transmissão. Esses erros, em um canal simétrico (um canal onde a probabilidade de troca (erro) de um bit de informação independe do bit transmitido), podem ser minimizados com a utilização de codificação da mensagem.

Essa codificação pode ocorrer de diversas maneiras e podem identificar e corrigir um número determinado de erros de acordo com o método utilizado. Por exemplo, o código de Hamming possui a capacidade de detectar e corrigir um erro simples, ou seja, não consegue identificar erros em dois bits distintos em uma palavra-código transmitida.

Neste relatório serão abordados a codificação de Hamming e um código proposto pelos alunos autores deste trabalho.

II. CÓDIGO DE HAMMING

O código de Hamming foi implementado conforme a teoria apresentada em aula. Foi utilizado \mathbf{u} como a palavra de informação, \mathbf{v} como a palavra código gerada através de $\mathbf{v} = \mathbf{u}\mathbf{G}$, \mathbf{G}_H como a matriz geradora para o código Hamming, \mathbf{H}_H^T como a matriz verificadora de paridade, \mathbf{r} como o vetor recebido $\mathbf{r} = \mathbf{v} + \mathbf{e}$, \mathbf{e} como o vetor de erros e \mathbf{s} como a síndrome identificada $\mathbf{s} = \mathbf{r}\mathbf{H}_H^T$.

Ao desenvolver a expressão $\mathbf{s} = \mathbf{r}\mathbf{H}_H^T$ pode-se observar que a síndrome depende apenas do erro:

$$\begin{aligned}\mathbf{s} &= \mathbf{r}\mathbf{H}_H^T \\ \mathbf{s} &= (\mathbf{v} + \mathbf{e})\mathbf{H}_H^T\end{aligned}$$

$$\mathbf{s} = \mathbf{0} + \mathbf{e}\mathbf{H}_H^T$$

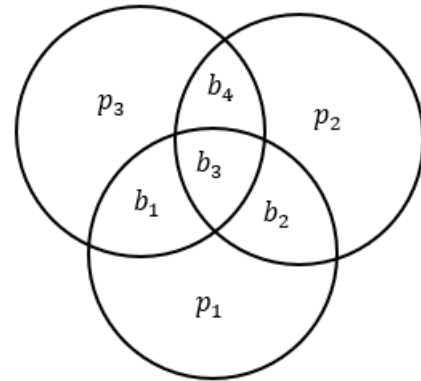
$$\mathbf{s} = \mathbf{e}\mathbf{H}_H^T$$

Como diferentes combinações de erros podem acarretar a mesma síndrome assume-se que é mais provável que ocorra apenas um erro de transmissão. Portanto, identificando a síndrome é possível determinar um erro \mathbf{e}' e executar a correção do bit indicado. Logo, se a síndrome identificada for a primeira linha de \mathbf{H}_H^T $\mathbf{s} = \mathbf{H}_H^T[1]$ o erro \mathbf{e}' indicará que a correção necessária é no bit $\mathbf{r}[1]$.

Foi implementada a codificação para uma palavra de informação de tamanho 4 e palavra código de tamanho 7, obtendo assim uma taxa de $t = \frac{4}{7} \cong 0,57$.

Para $\mathbf{u} = [b_1 \ b_2 \ b_3 \ b_4]$ a codificação foi realizada utilizando o esquema da figura 1 e matriz geradora correspondente.

Fig. 1. Código de Hamming



$$G_H = \begin{bmatrix} 1 & 0 & 0 & 0 & 1 & 0 & 1 \\ 0 & 1 & 0 & 0 & 1 & 1 & 0 \\ 0 & 0 & 1 & 0 & 1 & 1 & 1 \\ 0 & 0 & 0 & 1 & 0 & 1 & 1 \end{bmatrix}$$

E para decodificar foi utilizada a matriz verificadora de paridade \mathbf{H}_H^T .

$$\mathbf{H}_H^T = \begin{bmatrix} 1 & 0 & 1 \\ 1 & 1 & 0 \\ 1 & 1 & 1 \\ 0 & 1 & 1 \\ 1 & 0 & 0 \\ 0 & 1 & 0 \\ 0 & 0 & 1 \end{bmatrix}$$

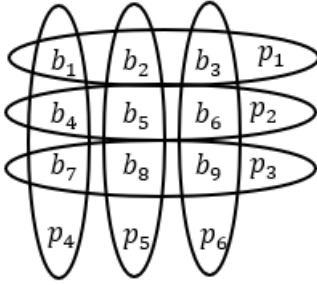
III. CÓDIGO PROPOSTO PELOS ALUNOS

O objetivo deste laboratório é propor um código com taxa semelhante ao código de Hamming do item anterior e que tivesse um bom desempenho para palavras de informação maiores que 4.

O código proposto pelos alunos segue o mesmo princípio de codificação através da matriz geradora e decodificação e identificação de síndrome pela matriz verificadora de paridade.

Para isso observou-se que era necessário que cada bit de informação b_n fosse processado por pelo menos 2 bits de verificação p_k . Na figura 2 pode-se observar como foi calculado cada bit de verificação p_k , com palavras de informação de tamanho 9 (Alunos₉).

Fig. 2. Código de Proposto para info = 9



Observe que cada bit de informação participa de dois grupo de bits distintos e isso é essencial para o bom funcionamento do código.

A matriz geradora para esse código é:

$$G_9 = [I_9 \quad P_9]$$

Onde I_9 é a matrix identidade e P_9 é:

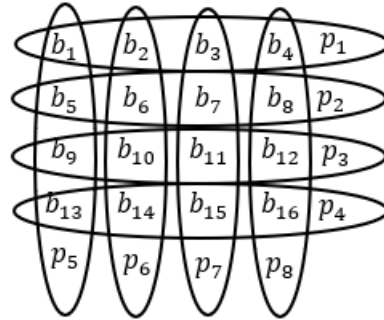
$$P_9 = \begin{bmatrix} 1 & 0 & 0 & 1 & 0 & 0 \\ 1 & 0 & 0 & 0 & 1 & 0 \\ 1 & 0 & 0 & 0 & 0 & 1 \\ 0 & 1 & 0 & 1 & 0 & 0 \\ 0 & 1 & 0 & 0 & 1 & 0 \\ 0 & 1 & 0 & 0 & 0 & 1 \\ 0 & 0 & 1 & 1 & 0 & 0 \\ 0 & 0 & 1 & 0 & 1 & 0 \\ 0 & 0 & 1 & 0 & 0 & 1 \end{bmatrix}$$

E a para decodificar foi utilizada a matrix verificadora de paridade \mathbf{H}_9^T .

$$\mathbf{H}_9^T = \begin{bmatrix} 1 & 0 & 0 & 1 & 0 & 0 \\ 1 & 0 & 0 & 0 & 1 & 0 \\ 1 & 0 & 0 & 0 & 0 & 1 \\ 0 & 1 & 0 & 1 & 0 & 0 \\ 0 & 1 & 0 & 0 & 1 & 0 \\ 0 & 1 & 0 & 0 & 0 & 1 \\ 0 & 0 & 1 & 1 & 0 & 0 \\ 0 & 0 & 1 & 0 & 1 & 0 \\ 0 & 0 & 1 & 0 & 0 & 1 \\ 1 & 0 & 0 & 0 & 0 & 0 \\ 0 & 1 & 0 & 0 & 0 & 0 \\ 0 & 0 & 1 & 0 & 0 & 0 \\ 0 & 0 & 0 & 1 & 0 & 0 \\ 0 & 0 & 0 & 0 & 1 & 0 \\ 0 & 0 & 0 & 0 & 0 & 1 \end{bmatrix}$$

Foi implementado o codificador acima e utilizando a mesma lógica também foi implementado para palavra de informação de tamanho 15 (Alunos₁₅) e 16 (Alunos₁₆). Para Alunos₁₅ os bits p_k foram calculados de maneira semelhante a figura 2 formando 5 grupos somando 3 bits e 3 grupos somando 5 bits, já para Alunos₁₆ optou-se por realizar a codificação conforme a figura 3.

Fig. 3. Código de Proposto para info = 16



Vale ressaltar que com os códigos apresentados acima obteve-se taxas semelhante ao do código de Hamming $t_9 = \frac{9}{15} \cong 0,60$, $t_{15} = \frac{15}{23} \cong 0,65$ e $t_{16} = \frac{16}{24} \cong 0,67$.

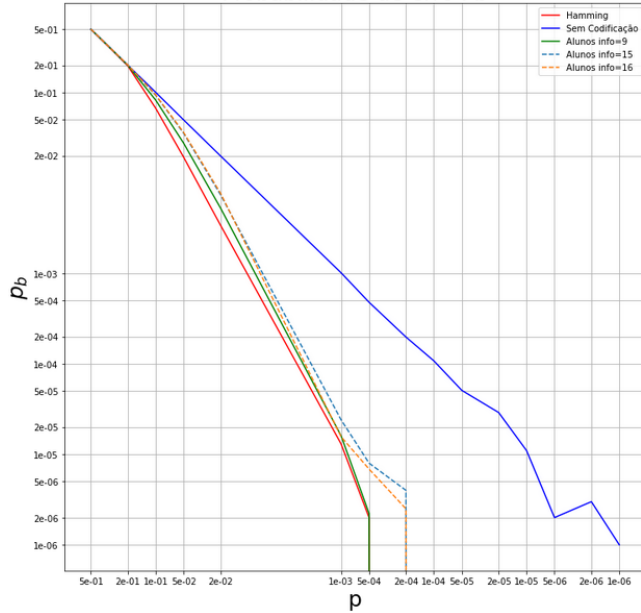
IV. RESULTADOS

Foi realizada uma bateria de testes para verificar o funcionamento dos codificadores e decodificadores. Inicialmente, foram realizadas 250.000 transmissões de palavras código de tamanho correspondente ao codificador utilizado para três casos: código de Hamming, a transmissão sem código e Alunos₉. Após isso, realizaram-se 100.000 transmissões para mais dois casos: Alunos₁₅ e Alunos₁₆.

A implementação do código e as simulações foram feitas através da plataforma Google Colab e estão contidos no link: <https://bit.ly/2PMxa9N>.

Os Resultados obtidos podem ser observados na figura 4. Analisando o gráfico dessa figura foi possível observar que

Fig. 4. Gráfico da Probabilidade de erro de bit de informação
Probabilidade de erro P_b



a curva azul corresponde a transmissão sem codificação e possui perfil semelhante a uma reta diferindo apenas para probabilidades p muito pequenas. Esse resultado está em conformidade com a teoria pois não houve nenhuma tentativa de correção de possíveis erros.

Vale ressaltar que o código proposto pelos alunos mesmo com palavra de informação até 4 vezes maior obteve resultado semelhante ao do código Hamming, porém levemente inferior. Note, também, que o código Alunos₉ obteve um melhor resultado entre os testes propostos pelos alunos.

V. QUESTIONAMENTOS

1) Qual foi a maior dificuldade de implementar o decodificador para o código de Hamming?

Como o algoritmo do código de Hamming já estava pronto e foi amplamente discutido em aula, não houve grandes dificuldades em sua implementação. O ponto mais delicado foi a correção do erro após a identificação da síndrome.

2) Qual foi o método utilizado para encontrar o código maior? Este método extensível para qualquer tamanho de bloco?

O método utilizado é dividir os bits em grupos de maneira que cada bit participe de pelo menos dois grupos com integrantes distintos. Conforme as figuras 2 e 3. Na figura 2 o bit b_1 participa dos grupos (b_1, b_2, b_3) e (b_1, b_4, b_7) note que a intersecção desses dois grupo é apenas o b_1 . Assim será possível observar e corrigir um possível erro do b_1 .

Esse método pode ser estendido para palavras de informação maiores, com alteração apenas na quantidade de participantes dos grupos conforme foi possível observar nos códigos Alunos₁₅ e Alunos₁₆

3) Qual é a relação medida entre o tamanho do bloco e o desempenho?

Foi possível observar que o resultado dos testes foram melhores para palavras de informação menores isso ocorre devido os códigos implementados permitirem a detecção e correção de apenas um bit.

4) Qual é a complexidade de sua codificação e decodificação do seu sistema?

A complexidade do código implementado é dada pela complexidade da multiplicação das matrizes que é $O(n^{2.37})$ [2] e [3]. Vale ressaltar que foi utilizada a biblioteca Numpy para realizar as operações de multiplicação de matrizes.

VI. CONCLUSÃO

Este trabalho serviu para que os alunos pudessem observar a importância do uso de um método de codificação para a transmissão de palavras de informação com maior precisão.

Foi observada que a medida que a probabilidade p diminui o desempenho dos codificadores aumentam. A relação entre o desempenho e o tamanho da palavra de informação a ser transmitida também foi constatada e isso ocorre devido a capacidade de correção de erros limitada dos métodos implementados. Portanto, faz-se necessário o estudo de métodos com maior capacidade de detecção e correção de erros.

REFERENCES

- [1] E1 - Códigos de Blocos. ELE-32 - Introdução a Comunicações. Divisão de Engenharia Eletrônica. Instituto Tecnológico de Aeronáutica. São José dos Campos.
- [2] NUMPY. numpy.matmul - NumPy v1.20 Manual. Disponível em: <https://numpy.org/doc/stable/reference/generated/numpy.matmul.html>. Acesso em 24 de março de 2021.
- [3] COPPERSMITH, D.; WINOGRAD, S. Matrix multiplication via arithmetic progressions. Journal of Symbolic Computation, 1990.